

А. Р. ГУЛКАНИН

ИССЛЕДОВАНИЕ НАПРЯЖЕННОГО СОСТОЯНИЯ ОБДЕЛОК ТОННЕЛИ КРУГЛОГО СЕЧЕНИЯ С УЧЕТОМ ПОЛЗУЧЕСТИ ГОРНЫХ ПОРОД

Изменение во времени напряженного состояния обделок подземных сооружений является следствием проявления свойств ползучести горных пород [4].

Исследование развития во времени напряженного состояния несущих обделок подземных сооружений в условиях ползучести горных пород нами проводится на моделях поляризационно-оптическим методом.

Деформирование однородного упруго-ползучего изотропного горного массива хорошо описывается уравнением Больцмана-Вольтерра линейной теории наследственности [4]

$$\dot{\varepsilon}(t) = \frac{1}{E} \left[\sigma(t) + \int_0^t L(t, \tau) \varepsilon(\tau) d\tau \right] \quad (1)$$

где $\dot{\varepsilon}(t)$ и $\sigma(t)$ — соответственно относительная деформация и напряжение в момент времени t , отсчитываемый от начала нагружения; E — мгновенный модуль упругости.

Для описания кривых ползучести применяется двучленное экспоненциальное ядро вида [2, 5]

$$L(t, \tau) = \theta_1 \exp[-\beta_1(t-\tau)] + \theta_2 \exp[-\beta_2(t-\tau)] \quad (2)$$

где θ_1 , θ_2 , β_1 , β_2 — постоянные коэффициенты.

Задача о напряженном состоянии обделок рассматривается в работе [3], когда взаимодействие обделки с окружающим массивом обусловлено только ползучестью горных пород.

Для обеспечения подобия напряженно-деформированного состояния модели и натуры необходимо выполнять ряд условий (критерии подобия), позволяющих решать задачу методами физического моделирования.

Ранее, с помощью метода анализа размерности, а также теории подобия, нами [3] были получены критерии подобия для суммы экспоненциальных ядер. Для двучленного экспоненциального ядра вида (2) эти условия можно представить в виде

$$(\gamma_{ab})_m = (\gamma_{ab})_n \quad (3)$$

$$(\nu_{\text{мас}})_u = (\nu_{\text{мас}})_n \quad (4)$$

$$\left(\frac{E_{\text{об}}}{E_{\text{мас}}} \right)_u = \left(\frac{E_{\text{об}}}{E_{\text{мас}}} \right)_n \quad (5)$$

$$\left(\frac{P}{\sigma l^2} \right)_u = \left(\frac{P}{\sigma l^2} \right)_n \quad (6)$$

$$(\beta t)_u = (\beta t)_n \quad (7)$$

$$\left(\frac{\theta_i}{\beta_i} \right)_u = \left(\frac{\theta_i}{\beta_i} \right)_n \quad i = 1, 2, \quad (8)$$

$$\left(\frac{\beta_1}{\beta_2} \right)_u = \left(\frac{\beta_1}{\beta_2} \right)_n \quad (9)$$

Здесь l — геометрический размер, см; P — нагрузка, $\kappa\Gamma$; $E_{\text{об}}$ и $E_{\text{мас}}$ — модули упругости, соответственно обделки и породы массива, $\kappa\Gamma/\text{см}^2$; $\nu_{\text{об}}$ и $\nu_{\text{мас}}$ — коэффициенты Пуассона, соответственно обделки и массива; t — время, мин; θ_1 , θ_2 — постоянные коэффициенты, мин^{-1} ; β_1 , β_2 — параметры ползучести, мин^{-1} .

При $\theta_i = A_i \beta_i E_{\text{мас}}$ ($i = 1, 2$) появляются дополнительные критерии подобия, которые определяются из условия (7)–(9):

$$\left(\frac{A_1}{A_2} \right)_u = \left(\frac{A_1}{A_2} \right)_n \quad (10)$$

$$(A_1 E_{\text{мас}})_u = (A_1 E_{\text{мас}})_n \quad (11)$$

где A_1 и A_2 — постоянные коэффициенты, $\text{см}^2/\kappa\Gamma$.

Сходственные моменты времени определяются из условия (7) при обязательном соблюдении критериев (8) и (9):

$$t_n = \frac{\beta_u}{\beta_n} t_u \quad (12)$$

Связь между напряжениями в натуре и модели в сходственные моменты времени определяется из условия (6):

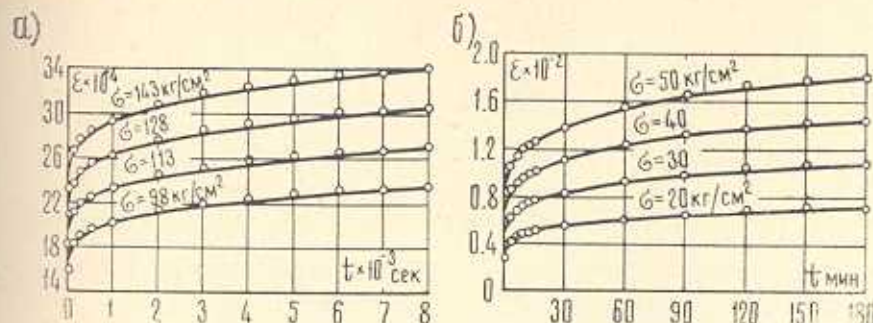
$$\sigma_n = \frac{P_n l_m^2}{P_m l_n^2} \sigma_m \quad (13)$$

1. В качестве примера рассмотрим задачу о напряженном состоянии упругой обделки круглого сечения при проходке тоннеля в горном массиве (алевролите) в условиях его ползучести.

Кривые ползучести (фиг. 1а) алевролита [4] хорошо аппроксимируются уравнением (1) линейной теории наследственности с ядром вида (2)

$$\dot{\varepsilon}(t) = \frac{\sigma(t)}{E_{\text{мас}}} + \int_0^t [A_1 \beta_1 \exp(-\beta_1(t-z)) + A_2 \beta_2 \exp(-\beta_2(t-z))] \dot{\sigma}(z) dz \quad (14)$$

Кривые ползучести материала модели (фиг. 1б) также аппроксимированы выражением (14).



Фиг. 1. Кривые ползучести алевролита (а) и материалы модели (б).

Приведенные в табл. 1 значения постоянных $E_{\text{мас}}$, A_1 , A_2 , β_1 , β_2 для материалов натуры и модели определены на ЭВМ БЭСМ-б методом наименьших квадратов.

Таблица 1

Параметр	Материал	
	модель	алевролит
$E_{\text{мас}}, \text{кг}/\text{см}^2$	7500	$0.62 \cdot 10^5$
$A_1, \text{см}^2/\text{кг}$	$0.84306 \cdot 10^{-4}$	0.028774
$A_2, \text{см}^2/\text{кг}$	$1.49568 \cdot 10^{-4}$	0.051048
$\beta_1, \text{мин}^{-1}$	0.5245625	0.6540
$\beta_2, \text{мин}^{-1}$	0.0154	0.0192

На фиг. 1 точками показаны величины деформаций ползучести для различных моментов времени, полученные по формуле (14).

Исследования проводились на плоских моделях под действием внешних сил, моделирующих силы собственного веса вышележащей породы и бокового распора. В качестве материала, моделирующего ползучесть породы массива, применяли эпоксидную смолу, отверженную тиоколом. Обделки изготавливали из упругого оптически-чувствительного материала ЭД-6М. Напряжения в них определены обычными методами фотоупругости [9].

Для того, чтобы мгновенная упругая деформация массива не передавалась на крепь, последнюю вклеивали в нагруженную модель ($\sigma_{00}|_{t=0} = 0$).

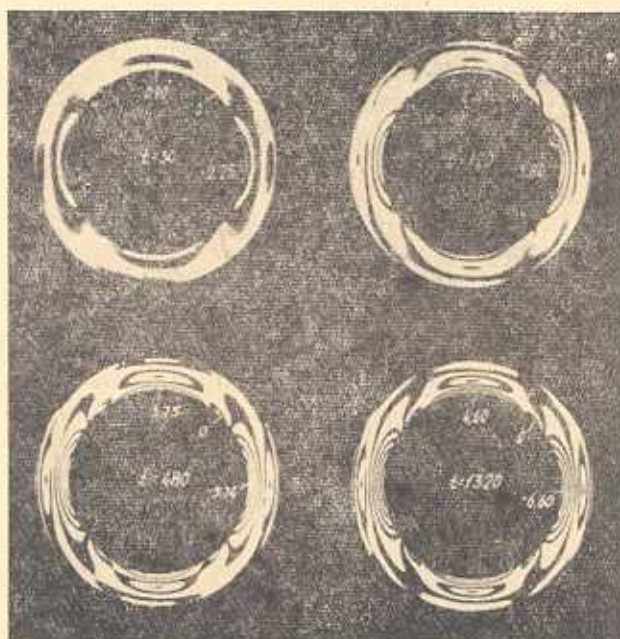
Учитывая, что горная порода и материал модели обладают свойством линейной ползучести, в экспериментах был использован прин-

цип наложения. Для круглой обделки была исследована одна модель, которую загружали равномерно распределенной нагрузкой $p = -\gamma H$, соответствующей вертикальному давлению, а напряженное состояние, соответствующее нагрузке $q = -\lambda \gamma H$, ввиду симметрии обделки, легко определяется из предыдущего эксперимента (γ — объемный вес, H — глубина заложения выработки, $\lambda = \frac{\nu}{1-\nu}$ — коэффициент бокового распора, ν — коэффициент Пуассона модели).

Если результаты исследования по модели представить в виде коэффициентов концентрации напряжений $K_1 = \frac{\sigma_u^{(1)}}{p}$ и $K_2 = \frac{\sigma_u^{(2)}}{q}$, то ис- комые напряжения в модели для произвольной точки j определяются через эти коэффициенты по следующей формуле:

$$\sigma_{ij}^{(l)} = K_1^{(l)} (\gamma H)_{\text{mod}} + K_2 \frac{\gamma_{\text{mod}}}{1 - \nu_{\text{mod}}} (\gamma H)_{\text{mod}} \quad (15)$$

На фиг. 2 показаны примеры характерных картин полос, измениющихся во времени.

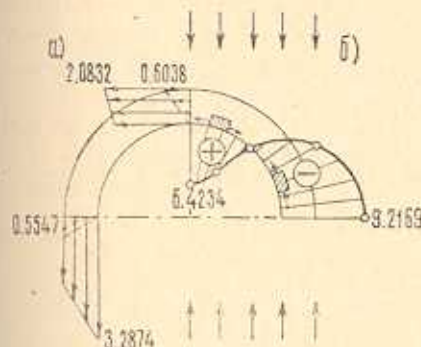


Фиг. 2. Картина полос для различных моментов времени в круглой обделке при действии вертикальной нагрузки.

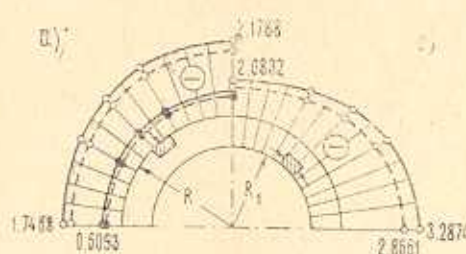
При действии вертикальной нагрузки на внутреннем контуре обделки в своде и подошве возникают растягивающие тангенциальные

напряжения σ_0 (фиг. 3б), а боковые стенки сжаты. Горизонтальная нагрузка вызывает растяжение внутренних волокон, сжатие свода и подошвы обделки.

Нормальные и тангенциальные напряжения на контакте "обделка—массив" при совместном действии вертикальной и горизонтальной нагрузок, при $\lambda = 0.923$, всюду сжимающие, и по толщине обделки распределяются практически по линейному закону (фиг. 4а, 3а).



Фиг. 3 Эпюры коэффициентов концентрации напряжений в обделке ($R/R_1 = 1.3793$; $E_{об}/E_{мас} = 4$; $\lambda = 0.923$; $t_m = 1320$ мин). а) $-\sigma_0/H$; б) $-\sigma_t/H$ — при одновременном действии вертикальной и горизонтальной нагрузок; б) $-\sigma_t/H$ — на внутреннем контуре обделки и при действии вертикальной нагрузки.



Фиг. 4. Эпюры коэффициентов концентрации напряжений в обделке при действии вертикальной и горизонтальной нагрузок ($R/R_1 = 1.3793$; $E_{об}/E_{мас} = 4$; $\lambda = 0.923$; $t_m = 1320$ мин). а) $-\sigma_0/H$ и $-\sigma_t/H$ — на контакте "обделка-массив"; б) $-\sigma_t/H$ — по внутреннему контуру обделки — о — $-\sigma_t/H$; — $-\sigma_0/H$; — эксперимент; — теоретическое решение.

На фиг. 5 приведены графики изменения нормальных напряжений во времени для характерных точек на контакте "обделка—массив". Из рисунка видно, что в начальном участке времени характерно нарастание напряжений (давление на обделку) с большой скоростью. Далее скорость затухает и примерно через 480 мин давление на обделку в модели стабилизируется.

В табл. 2 и 3 приведены значения тангенциальных $-\frac{\sigma_t}{H}$ и нормальных $-\frac{\sigma_0}{H}$ напряжений на внутреннем контуре обделки и на контакте "обделка—массив" в характерных точках для двухосного напряженного состояния.

Таблица 2

$-\frac{\sigma_0}{H}$											
0°		30°		45°		60°		90°			
R_1	R	R_1	R	R_1	R	R_1	R	R_1	R	R_1	R
3.2874	1.7468	2.9811	1.8548	2.6833	1.9628	2.3823	2.0708	2.0832	2.1788		

Таблица 3

$-\tau_r/H$				
0°	30°	45°	60°	90°
R	R	R	R	R
0.5547	0.5820	0.6093	0.6364	0.6638

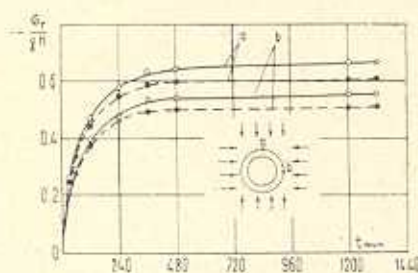
2. Для проверки предложенной методики рассмотренная задача решалась также теоретически. Предполагалось, что обделка включается в работу в условиях сцепления с массивом (фиг. 6) с граничными условиями на бесконечности соответственно

$$\sigma_x^{(\infty)} = -\gamma H, \quad \sigma_y^{(\infty)} = -\gamma H, \quad \tau_{xy}^{(\infty)} = 0 \quad (16)$$

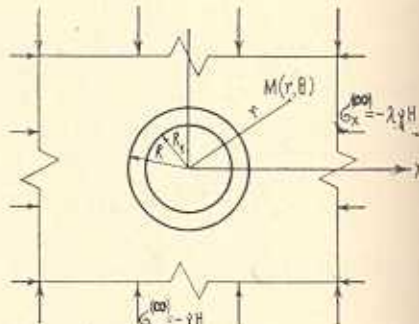
и на контакте „обделка—массив“

$$\left. \begin{array}{l} \sigma_r^{(0)} = 0 \\ \tau_{r\theta}^{(0)} = 0 \end{array} \right\} \text{при } r = R_1,$$

$$\left. \begin{array}{l} \sigma_r^{(0)} = \sigma_r^{\text{мас}} \\ \tau_{r\theta}^{(0)} = \tau_{r\theta}^{\text{мас}} \\ v_r^{(0)} = v_r^{\text{мас}} \\ v_\theta^{(0)} = v_\theta^{\text{мас}} \end{array} \right| \text{при } r = R \quad (17)$$



Фиг. 5. Графики изменения нормальных напряжений во времени для характерных точек обделки на контакте „обделка—массив“ при одновременном действии вертикальной и горизонтальной нагрузок ($R/R_1 = 1.3793$; $E_{\text{об}}/E_{\text{мас}} = 4$; $\lambda = 0.923$; $t_m = 1320$ мин). — эксперимент, --- теоретическое решение.



Фиг. 6. Расчетная схема обделки.

Компоненты напряжений в обделке ($R_1 < r < R$) согласно [8] примем в виде

$$\begin{aligned} \sigma_r &= -\frac{\gamma H}{2} \left[\left(a_1 + \frac{b_{-1}}{2} \frac{R^2}{r^2} \right) + \left(\frac{b_1}{2} - 2a_{-1} \frac{R^2}{r^2} - \frac{3}{2} b_{-3} \frac{R^4}{r^4} \right) \cos 2\theta \right] \\ \sigma_\theta &= -\frac{\gamma H}{2} \left[\left(a_1 + \frac{b_{-1}}{2} \frac{R^2}{r^2} \right) - \left(\frac{b_1}{2} - 6a_3 \frac{r^2}{R^2} - \frac{3}{2} b_{-3} \frac{R^4}{r^4} \right) \cos 2\theta \right] \end{aligned} \quad (18)$$

Здесь коэффициенты принятые зависящими от времени, а расчетные формулы для них приведены в работе [1].

Для определения механических характеристик упруго-ползучей среды G_t и x_t , входящих в коэффициенты уравнений (18), воспользуемся их операторным представлением [6]:

$$G_t = \frac{\bar{E}}{2(1+\nu)}, \quad x_t = 3 - 4\nu \quad (19)$$

Здесь

$$\bar{E} = E(1 - \Gamma^*) \quad (20)$$

Из условия постоянства оператора объемного сжатия легко находим

$$\bar{\nu} = \nu \left(1 + \frac{1-2\nu}{2\nu} \Gamma^* \right) \quad (21)$$

где Γ^* — оператор резольвенты ядра ползучести (2). Преобразуем выражение $\frac{1}{2(1+\nu)}$:

$$\frac{1}{2(1+\nu)} = \frac{1}{2(1+\nu)} \frac{1}{1 + \frac{1-2\nu}{2\nu} \Gamma^*} = \frac{1}{2(1+\nu)} (1 - R^*) \quad (22)$$

где R^* — оператор, имеющий своим ядром резольвенту ядра оператора $\frac{1-2\nu}{2(1+\nu)} \Gamma^*$.

Подставляя (20), (21) и (22) в (19), получим

$$\begin{aligned} G_t &= G[1 - \Gamma^* - R^* + \Gamma^* R^*] \\ x_t &= 3 - 4\nu \left(1 + \frac{1-2\nu}{2\nu} \Gamma^* \right) \end{aligned} \quad (23)$$

Для нахождения операторов Γ^* и R^* необходимо найти решения соответствующих им интегральных уравнений.

Вспользуемся методом интегральных преобразований Лапласа, который по существу при постоянных граничных условиях эквивалентен операторному методу Работникова [6].

Напишем ядро ползучести (2) в следующем виде:

$$L(t') = g_1 e^{-\beta_1 t'} + g_2 e^{-\beta_2 t'}, \quad t' = t - z \quad (24)$$

Образ ядра ползучести (24) будет

$$L^*(s) = \frac{g_1}{s - \beta_1} + \frac{g_2}{s - \beta_2} \quad (25)$$

Используя формулу (7)

$$\Gamma^*(s) = \frac{L^*(s)}{1 + L^*(s)} \quad (26)$$

найдем образ оператора Γ^* в следующем виде:

$$\Gamma^*(s) = \theta \frac{s + \frac{b}{\theta}}{(s - s_1)(s - s_2)} \quad (27)$$

где

$$\begin{aligned} \theta &= b_1 + b_2, \quad b = b_1 b_2 + b_2 b_1, \quad s_1 = -a + d, \quad s_2 = -a - d \\ a &= \frac{1}{2}(b_1 + b_2 + \theta), \quad z = \sqrt{a^2 - e}, \quad e = b_1 b_2 + b \end{aligned}$$

Имея образ (27), легко находим его оригинал:

$$\Gamma(t') = \theta(Ae^{st'} + Be^{z t'}), \quad (28)$$

где

$$A = \frac{s_1 + \frac{b}{\theta}}{2d}, \quad B = \frac{s_2 + \frac{b}{\theta}}{-2d}$$

Уравнение (29) не что иное, как ядро наследственности, соответствующее оператору Γ^* , который в свою очередь при действующей на тело постоянной нагрузке находится по следующей формуле:

$$\Gamma^* 1 = \int_0^t \Gamma(t') 1 dt' \quad (29)$$

Выполнив интегрирование, получим

$$\Gamma^* 1 = \theta \left[A \frac{1}{s_1} (e^{st} - 1) + B \frac{1}{s_2} (e^{zt} - 1) \right] \quad (30)$$

Аналогичным образом находим

$$R^* 1 = \frac{1 - 2v}{2(1 + v)} \theta \left[M \frac{1}{i_1} (e^{i_1 t} - 1) + K \frac{1}{i_2} (e^{i_2 t} - 1) \right] \quad (31)$$

где

$$M = \frac{i_1 + N}{2n}, \quad K = \frac{i_2 + N}{-2n}, \quad i_1 = -l + n, \quad i_2 = -l - n,$$

$$l = \frac{1}{2} \left(-s_1 - s_2 + \frac{1 - 2\nu}{2(1+\nu)} b \right), \quad n = \sqrt{F - m}$$

$$m = s_1 s_2 + \frac{1 - 2\nu}{2(1+\nu)} N.$$

Отметим, что входящие в уравнения (30) и (31) постоянные s_1 , s_2 , ν_1 , ν_2 меньше нуля.

Имея формулы (30) и (31) и подставляя их значения в формулу (23), можем найти значения G_t и ν_t для любого момента времени.

Перейдем к решению примера с исходными данными, соответствующими исследованной модели: радиус тоннеля в свету — $R_1 = 0.58$ см, толщина упругой обделки — 0.22 см; $R = 0.58 + 0.22 = 0.80$ см, $n = \frac{R}{R_1} = 1.3793$. Для упругой обделки: $E_{06} = 30\,000 \text{ кГ/см}^2$, $\nu_{06} = 0.33$,

$G_{06} = \frac{E_{06}}{2(1+\nu_{06})} = 11278 \text{ кГ/см}^2$, $\nu_{06} = 3 - 4\nu_{06} = 1.68$. Для упруго-ползучего материала, согласно экспериментальным данным: $A_1 = 0.84306 \cdot 10^4 \text{ см}^2/\text{кГ}$, $A_2 = 1.49568 \cdot 10^{-4} \text{ см}^2/\text{кГ}$, $\beta_1 = 0.52456 \text{ мин}^{-1}$, $\beta_2 = 0.0154 \text{ мин}^{-1}$, $E_{\text{рас}} = 7500 \text{ кГ/см}^2$, $\nu = 0.48$ ($i = 0.923$).

Значения операторов (19) и коэффициентов, входящих в уравнение (18), для момента времени $t_u = 1320 \text{ мин}$ приведены в табл. 4.

Таблица 4

t	G_t	ν_t	b_{-1}	a_1	b_{-3}	a_{-1}	b_1	a_3
1320	883	1.03	2.4550	2.3353	0.2036	-0.4404	-1.3491	-0.2278

Подставляя значения коэффициентов в уравнения (18), найдем тангенциальные и нормальные напряжения в обделке и на контакте "обделка — массив" (табл. 5 и 6).

Таблица 5

$r \backslash \theta$	$-\sigma_6 / (H)$				
	0	30°	45°	60°	90°
R_1	2.8661	2.6007	2.3353	2.0699	1.8045
$R_1 + \frac{R - R_1}{3}$	2.3148	2.2018	2.0888	1.9758	1.8628
$R_1 + \frac{2(R - R_1)}{3}$	1.9127	1.9139	1.9130	1.9131	1.9133
R	1.5880	1.6847	1.7844	1.8781	1.9748

Таблица 6

r	0	0°	30°	45°	60°	90°
K_1	0	0	0	0	0	0
$R_1 + \frac{R - R_1}{3}$	0.2262	0.2363	0.2465	0.2566	0.2668	
$R_1 + \frac{2(R - R_1)}{3}$	0.3946	0.4084	0.4223	0.4362	0.4500	
R	0.5043	0.5291	0.5539	0.5787	0.6035	

Сопоставление результатов теоретического расчета с экспериментальными данными показывает их хорошее соответствие (фиг. 3, 5). Максимальное отличие напряжений наблюдается на внутреннем контуре обделки для σ_0/H и не превышает 13%. На контакте "обделка—массив" оба решения для нормальных и тангенциальных напряжений дают практически одинаковые результаты (фиг. 3).

Московский инженерно-строительный институт им. В. В. Куйбышева

Поступила 8.11.1971

见书影

ԿԱՐ ԿՏՐՎԱՄՔ ՈՒՆԵՑՈՂ ԹԱՐԵՎԵԼ ՇՐՋԱՆԱԿԻ ԼԱՐՎԱԾԱՅԻՆ ՎԻՃԱԿԻ
ՀԵՏՈԳՈՏՈՒՅՑՈՒՆԻՇ ԱՊՐԵՆԵՐԻ ԱՊԱՐԱՆԵՐԻ ՍՈԶՔԻ ՀԱՇՎՈՒԹՈՒՅԾ.

W. J. H. VAN DER VELDE

Աշխատանքում ստացված են նմանության, անհրաժեշտ շափանիշներ, նմանության պայմաններին համապատասխանող նոր օպտիկա-գգալուն առաջա-սովորային նյութեր, մշակված է մեթոդիկա և որպես օրինակ օպտիկա-բեռային մի մեթոդով ուսումնասիրված է կլոր կտրվածք ունեցող շրջանակի լարվածային վիճակը: Թնարկված խնդիրը լուծվել է նաև տեսականորեն, որտեղ գտնվել են առաջա-սովորային միջավայրի G_1 և x_1 մեխանիկական բնութագրերի հաշվարկային բանաձեռք՝ ժառանգականության գծային տեսա-թյան Բոլցման-Վոլտերի ինտեղրալ հավասարման երկանգամ էքսպոնենտա-յին միջուկի համար: Երկու լուծումների արդյունքների համապատմբ ցուցված է նրանց լայն համապատասխանությունը:

STUDY ON STRESSED STATE OF CIRCULAR CROSS-SECTION TUNNEL FACING WITH REGARD TO THE CREEP OF ROCKS

A. R. GULKANIAN

С и м м а р у

Necessary criteria of similarity, new optical-sensitive elastic-creepy materials which meet the requirements of similarity are obtained; the appropriate method is developed and a problem on the stressed state of circular cross-section tunnel facing is studied as an example by the optical-polarization method. The above problem is also solved theoretically and the calculation formulas for mechanical characteristics of elastic-creepy medium G_t and χ_t for the chosen two-membered exponential core of the Boltzman-Volterra integral equation of the linear heredity theory are found. The comparison of the results of both solutions shows their good correlation.

Л И Т Е Р А Т У Р А

1. Айталиев Ш. М. Исследование работы обделки напорного тоннеля кругового очертания под действием неустановившегося горного давления. В кн.: „Реологические вопросы механики горных пород“. Изд-во АН КазССР, 1964.
2. Вайсман А. М., Кунин И. А., Титиевин К. К. Воздействие горного давления на вертикальную выработку в условиях ползучести горных пород. „Вопросы горного давления“, Изд-во СО АН СССР, вып. 13, 1962.
3. Дмоховский А. В., Варданян Г. С., Гулканян А. Р. Моделирование напряженного состояния подземных сооружений с учетом ползучести горных пород. Сб. Трудов МИСИ „Моделирование задач динамики, термоупругости и статики поляризационно-оптическим методом“. М., № 73, 1970.
4. Ержаков Ж. С. Теория ползучести горных пород и ее приложения. Изд. „Наука“, Алма-Ата, 1964.
5. Месчян С. Р. Ползучесть глинистых грунтов. Изд. АН АрмССР, Ереван, 1967.
6. Работнов Ю. Н. Равновесие упругой среды с последействием. „Прикл. математ. и механ.“, т. XII, вып. I, 1948.
7. Ржаницын А. Р. Теория ползучести. Изд-во литературы по строительству, М., 1968.
8. Савин Г. Н. Концентрация напряжений около отверстий. ГИТТА. М.-Л., 1951.
9. Фрохт Г. Н. Фотоупругость, т. I. Гостехиздат, М.-Л., 1948.